

مطالعه ریزساختارها در کمپلکس گرانیتوئیدی بروجرد (غرب ایران)

داریوش اسماعیلی^{(۱)*}، جمال رسولی^۲ و محمد محجل^۳

۱. دانشیار دانشکده زمین‌شناسی، پردیس علوم، دانشگاه تهران

۲. کارشناسی ارشد پترولولژی، پردیس علوم، دانشکده زمین‌شناسی، دانشگاه تهران

۳. دانشیار گروه زمین‌شناسی، دانشکده علوم پایه، دانشگاه تربیت مدرس، تهران

تاریخ دریافت: ۸۷/۱۱/۱

تاریخ پذیرش: ۸۹/۷/۲

چکیده

کمپلکس گرانیتوئیدی بروجرد یکی از کمپلکس‌های نفوذی بزرگ در پهنه ساختاری سندج- سیرجان است. واحد سنگ‌شناسی غالب این کمپلکس، گرانوودیوریتی است و استوک‌های کوچک کوارتزدیوریتی و مونزو-گرانیتی نیز آن را همراهی می‌نمایند. بررسی ریزساختارهای این سنگ‌های نفوذی، چهار نوع ریزساختار را در آن‌ها نشان داد؛ ۱) ریزساختار ماقمایی که عمدتاً در جنوب‌غرب کمپلکس و در بخشی معروف به گرانیت گوش دیده می‌شود، ۲) ریزساختار حالت جامد دما بالا که بیشتر در شرق و جنوب شرق تا مرکز کمپلکس گسترش دارد، ۳) ریزساختار حالت جامد دما پایین که در مرکز، غرب و جنوب‌غرب کمپلکس توسعه یافته و ۴) ریزساختارهای ساب میلونیتی تا میلونیتی که از مرکز به سمت شمال کمپلکس گسترش دارند. مرکز شدت دگرگشکلی‌ها در شمال و غرب کمپلکس را می‌توان به وجود پهنه‌های برشی و گسل‌های موجود در این مناطق نسبت داد. در حالی که ریزساختار ماقمایی در گرانیت گوش، نشان‌دهنده وارد نشدن تشکیل‌نیکی مؤثر به این سنگ‌ها است که با سن بسیار جوان آن‌ها نیز هم خوانی دارد.

واژه‌های کلیدی: دگرگشکلی، ریزساختارها، گرانیتوئید بروجرد، پهنه سندج - سیرجان

مقدمه

منطقه مورد مطالعه در شرق و جنوب شرق بروجرد در مجموعه سنگ‌های دگرگونی قرار دارد. کمپلکس گرانیتوئیدی بروجرد به صورت کشیده، با طول ۶۰ کیلومتر و پهنه‌ای ۸-۱۰ کیلومتر در این منطقه رخمنون یافته‌است (شکل ۱). امروزه جهت مطالعه و بازسازی شرایط جایگیری کمپلکس‌های نفوذی در زمان تشكیل و اثرات جایگیری آن بر روی سنگ‌های میزان و سنگ‌های خود کمپلکس و همچنین تعبیر و تفسیر نیروهای تکتونیکی حاکم بر منطقه در آن زمان، استفاده از ریزساختارهای میکروسکوپی و دگرگشکلی‌های حادث شده بر روی کانی‌های موجود در سنگ‌ها و سیمای کلی سنگ امری اجتناب ناپذیر است، زیرا تغییرات ایجاد شده بر روی کانی‌ها و تشکیل انواع خاصی

از هر کدام از ریزساختارهای میکروسکوپی، مشخص کننده مرحله خاصی از روند جایگیری کمپلکس می‌باشد. با توجه به تنوع لیتولوژیکی و وجود گسل‌ها و دایک‌های اسیدی و بازیک فراوان در منطقه، تصمیم بر آن شد تا از کل کمپلکس به صورت سیستماتیک نمونه‌برداری گردد. در مجموع از ۹۴ ایستگاه، نمونه‌برداری انجام شد. هدف از این تحقیق آن است که با استفاده از مطالعات پتروفاریک و بررسی تغییرات کانی‌شناسی و بافتی در گرانیتوئیدهای تغییر شکل یافته و همچنین معیارهایی مانند تغییر در اندازه دانه‌ها، شکل و رفتار کانی‌ها در مقیاس میکروسکوپی، بتوان دگرگشکلی‌ها و ریزساختارهای موجود در سنگ‌های متنوع کمپلکس را مطالعه و ارتباط آن‌ها را با نحوه جایگیری کمپلکس بررسی نمود.

* نویسنده مرتبط esmaili@khayam.ut.ac.ir

رگه های کوارتز - تورمالین (شکل ۲- c) و دایک های بازیک و حد وسط (شکل ۲- d) نیز در منطقه قابل تشخیص است (احمدی خلجمی، ۱۳۸۵).

سنگ های گرانودیوریتی، حجم عمدۀ توده نفوذی بروجرد را تشکیل داده و در حقیقت بدنۀ اصلی این کمپلکس بوده و هم بری آنها با سنگ های دگرگونی مجاورتی اطرافشان به خوبی قابل تشخیص است. بافت این سنگ ها گرانولار بوده و از نظر کانی شناسی شامل: پلاژیوکلاز، آکالائی فلدسپار، کوارتز و بیوتیت و کانی های فرعی آلانیت، آپاتیت، اسفن، زیرکن و کانی های اپک می باشند. در بخش هایی، این سنگ ها به فراوانی دچار دگرگوشانی شده و تقریباً همه سنگ به طور کامل تجزیه شده است. واحد سنگی کوارتزدیوریتی، در صحرا به رنگ خاکستری بوده و به صورت کمپلکس های کوچک و مجزا درون واحد گرانودیوریتی رخنمون دارد، به همین دلیل تفکیک این سنگ ها مشابه یکدیگر مشکل می باشد. ترکیب کانی شناسی این سنگ ها مشابه واحد گرانودیوریتی بوده، با این تفاوت که مقدار آمفیبول و پلاژیوکلاز این سنگ ها بیشتر و مقدار کوارتز و آکالائی فلدسپار آنها کمتر است. نتایج بدست آمده از سن سنجی به روش U-Pb زیرکن، محدوده سنی ۱۷۵-۱۷۱ را برای کمپلکس گرانیتوئیدی بروجرد نشان می دهد. این مسئله بیانگر آن است که تشکیل این توده از ابتدا تا زمان جایگزینی آخرین فازهای ماقمایی آن، در طول مدت زمان نسبتاً کوتاهی (کمتر از چهار میلیون سال) در ژوراسیک میانی (باژوسین) رخ داده است (احمدی خلجمی،

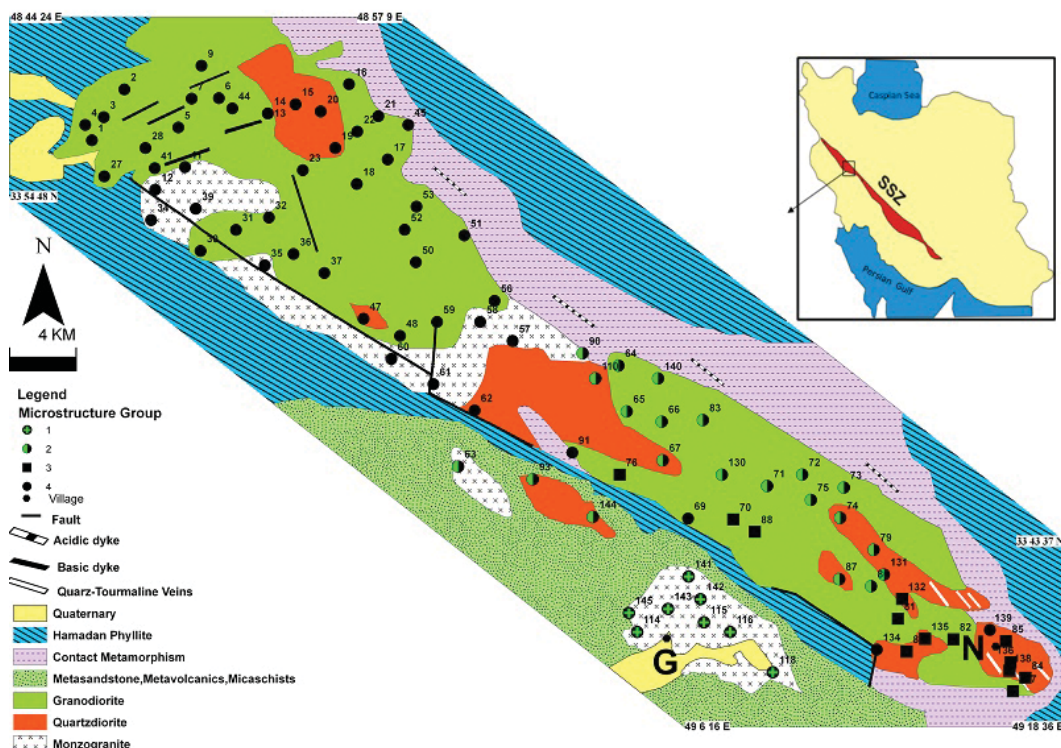
زمین شناسی عمومی

کمپلکس گرانیتوئیدی بروجرد در شمال غرب پهنه سندج - سیرجان و در شرق و جنوب شرق شهرستان بروجرد واقع شده است (شکل ۱).

قدیمی ترین نهشته های این منطقه مربوط به تریاس می باشد که در جنوب شرق بروجرد رخنمون داشته و شامل متأولکانیک هایی با درون لایه های مرمر نازک تا ضخیم لایه می باشد (Stöcklin, 1968) (۱۳۸۵) مشخص شد توده گرانیتوئیدی بروجرد از نوع کالک آلکالن و غنی از پتاسیم (پتاسیک) بوده و از نظر درجه اشباع از الومینیوم (ASI)، متأللومین تا اندکی پرآلومین می باشد. نتایج ژئوشیمیابی بدست آمده از تغییرات عناصر نادر خاکی، حاکی از نقش اساسی پوسته، در تغییر و تحولات ماقمای سازنده توده گرانیتوئیدی می باشد. عناصر کمیاب نیز، دارای نقاط بیشینه و کمینه ای هستند که نشانگر محیط های فروراتش بوده و به نظر مرسد توده گرانیتوئیدی بروجرد در منطقه قوس آتشفسانی تشکیل شده باشد (احمدی خلجمی، ۱۳۸۵).

پتروگرافی

مطالعات صحراوی و پتروگرافی نشان دهنده آن است که این کمپلکس از سه واحد اصلی گرانودیوریت (شکل ۲- a)، مونزو گرانیت (شکل ۲- b) و کوارتزدیوریت تشکیل شده است. همچنین سنگ های گرانیتی روشن اسفن دار، دایک های اسیدی،



شکل ۱- نقشه پتروگرافی گرانیتوئید بروجرد که محل پهنه های چهارگانه با شماره بر روی آن مشخص است: ۱- پهنه ماقمایی و ساب ماقمایی، ۲- پهنه جامد دما بالا، ۳- پهنه حالت جامد دما پایین و ۴- پهنه ساب میلونیتی و میلونیتی



شکل ۲-a - نمایی از گرانودیوریت‌های گوشه که به دلیل عدم هوازدگی و تازه‌گی و خوش رنگ بودن به صورت سنگ ساختمانی استخراج می‌شود، c - نمایی از یک رگه پگماتیتی که در درون واحد گرانودیوریتی تزریق شده است و d - نمایی از یک دایک بازیک، Grd گرانودیوریت و Dy.M دایک بازیک

ناحیه‌ای با طیفی از شرایط رخساره شیست سبز دیده می‌شود که در طی نفوذ توده گرانیتوئیدی در امتداد سطح شیستوزیته آن‌ها، یک مجموعه دگرگونی مجاورتی دمای بالا- فشار پایین حاصل شده است. در بخش جنوبی توده، دگرگونی مجاورتی به دلیل گسله‌بودن (Masoudi et al., 2002)، احمدی خلجمی (۱۳۸۵) یا ناقص است و یا مشاهده نمی‌شود و نوار باریکی از شیستهای کردیریت‌دار یا کردیریت هورنفلس که به اسلیت و فیلیت ختم شده وجود دارد. ولی در بخش‌های شمالی توده، میگماتیت‌های تزریقی (Tullis et al., 1999) و هورنفلس‌ها دیده می‌شود (Masoudi et al., 2002)، احمدی خلجمی (۱۳۸۵). به منظور درک ارتباط سنگ‌های دگرگونی میزبان و سنگ‌های کمپلکس گرانیتوئیدی بروجرد، از دور تا دور کمپلکس اصلی، یعنی از سنگ‌های میزبان، شب و امتداد لایه‌بندی اندازه‌گیری شده است (جدول ۱). با نشان دادن داده‌های مربوط به این جدول بر روی نقشه زمین شناسی منطقه (شکل ۳) و رسم استریوگرام (شکل ۴) مربوطه، مشخص شد که کمپلکس گرانیتوئیدی بروجرد در امتداد

(۱۳۸۵). اما آنالیز پنج تک بلور زیرکن مربوط به منطقه گوشه، سن بسیار جوانتری معادل ۳۶,۷ میلیون سال (اثوسن پایانی) را برای این منطقه نشان می‌دهد که این مسئله حاکی از منحصر به فرد بودن منطقه گوشه نسبت به کمپلکس اصلی بروجرد می‌باشد و در نتیجه باید انتظار داشت که ریزساختارهای میکروسکوپی در منطقه گوشه متفاوت از ریزساختارهای کمپلکس اصلی باشد. ریزساختارهای گوشه مأگمایی است و نشان می‌دهد که نسبت به بقیه کمپلکس گرانیتوئیدی بروجرد کمتر دچار دگرشکلی شده است.

سنگ‌های دگرگونی موجود در منطقه شامل دو سری دگرگونی ناحیه‌ای درجه پایین و مجاورتی درجه پایین تا بالا می‌باشد. مرزبندی این دو دگرگونی با توجه به شواهد بافتی و تغییرات کانی‌شناسی صورت گرفته است. دگرگونی ناحیه‌ای شامل اسلیت‌ها و فیلیت‌ها می‌باشد که تغییرات بافتی محسوسی را نشان نمی‌دهند. دگرگونی مجاورتی با شیستهای لکه‌دار شروع شده و به هورنفلس‌ها و میگماتیت‌ها ختم می‌گردد. دگرگونی

افتاده است که این دگرشکلی‌ها به صورت ساختارهای صفحه‌ای S1, S2, S3 ظاهر شده‌اند. دگرشکلی اول به واسطه چین‌های بسته تا موازی با سطح محوری افقی و با یک شیستوزیتۀ بارز مشخص می‌شود. دگرشکلی دوم که همانند سایر مناطق سنترج - سیرجان، حادثه اصلی دگرشکلی در منطقه می‌باشد و با چین‌های بسته با شبی زیاد تا قائم مشخص می‌شود. دگرشکلی سوم در مقیاس میکروسکوپی و به صورت یک کلیواژ خمیده دیده می‌شود.

شیستوزیتۀ غالب سنگ‌های دگرگونی میزانش تزریق گردیده است و دگرشکلی‌های موجود در حاشیه کمپلکس ارتباط ژنتیکی آشکاری با سنگ‌های میزان خود دارند. طبق مطالعات قبلی (احمدی خلجی، ۱۳۸۵) مشخص شده است که دگرشکلی‌های موجود در سنگ‌های دگرگونی منطقه، به صورت چین‌خوردگی‌ها و ساختارهای صفحه‌ای متعدد نمایان شده‌اند. در منطقه مورد مطالعه، حداقل سه فاز دگرشکلی در سنگ‌های دگرگونی اتفاق

جدول ۱- داده‌های مربوط به شبی و امتداد برداشت شده از سنگ‌های میزان کمپلکس گرانیتوئیدی بروجرد

DIP	DipDirection	SN
۵۸	۴۲	۵۷
۵۸	۳۸	۵۸
۵۶	۴۵	۵۹
۵۲	۴۰	۶۰
۶۸	۵۲	۶۱
۶۲	۴۶	۶۲
۶۷	۴۰	۶۳
۷۵	۲۵	۶۴
۵۵	۷۹	۶۵
۷۷	۷۷	۶۶
۵۶	۴۰	۶۷
۶۶	۲۵	۶۸
۴۷	۳۰	۶۹
۶۴	۴۲	۷۰
۵۸	۳۲	۷۱
۶۰	۳۵	۷۲
۵۷	۲۷	۷۳
۵۹	۲۸	۷۴
۵۶	۳۰	۷۵
۵۴	۳۵	۷۶
۵۶	۵۷	۷۷
۵۹	۴۶	۷۸
۵۰	۴۰	۷۹
۷۷	۵۷	۸۰
۶۴	۵۰	۸۱
۷۲	۵۵	۸۲
۷۰	۹۷	۸۳
۵۱	۹۰	۸۴

DIP	DipDirection	SN
۴۴	۴۰	۲۹
۳۶	۲۸	۳۰
۵۴	۴۵	۳۱
۵۱	۴۸	۳۲
۵۵	۲۰	۳۳
۵۷	۱۵	۳۴
۴۶	۲۰	۳۵
۳۶	۲۹۰	۳۶
۳۴	۲۲	۳۷
۲۴	۹۷	۳۸
۵۳	۳۰	۳۹
۳۶	۲۵	۴۰
۳۰	۳۵	۴۱
۱۹	۳۷	۴۲
۳۲	۰۷	۴۳
۳۷	۲۲	۴۴
۳۷	۲۵	۴۵
۶۰	۴۰	۴۶
۲۶	۵۰	۴۷
۳۵	۲۵	۴۸
۳۵	۰۲	۴۹
۳۹	۴۰	۵۰
۷۲	۲۸	۵۱
۵۰	۷۷	۵۲
۶۲	۲۴	۵۳
۷۱	۱۳	۵۴
۶۵	۳۵	۵۵
۷۱	۴۴	۵۶

DIP	DipDirection	SN
۳۵	۵۵	۱
۳۴	۲۸	۲
۳۶	۳۳	۳
۱۶	۲۷۰	۴
۳۰	۲۶۵	۵
۱۶	۲۸۱	۶
۲	۴۸	۷
۱۰	۴۰	۸
۱۰	۳۷	۹
۲	۵	۱۰
۲۴	۱۲	۱۱
۲۱	۳۳۷	۱۲
۳۹	۱۹۵	۱۳
۴۰	۲۱۳	۱۴
۵۰	۲۵	۱۵
۴۶	۶	۱۶
۴۶	۱۵	۱۷
۲۷	۳۵۲	۱۸
۱۵	۱۳	۱۹
۴۴	۳۴۸	۲۰
۳۱	۱۰	۲۱
۳۰	۰	۲۲
۴۱	۱۵	۲۳
۴۳	۶۷	۲۴
۴۲	۴۵	۲۵
۵۴	۳۴	۲۶
۶۱	۲۵	۲۷
۲۲	۵۴	۲۸

Archive of SID

داریوش اسماعیلی و همکاران

DIP	DipDirection	SN
۳۳	۲۳	۱۰۵
۳۶	۰	۱۰۶
۴۵	۲۸	۱۰۷
۶۷	۳۶	۱۰۸
۱۸	۰۲	۱۰۹
۳۸	۴۰	۱۱۰
۳۵	۲۰	۱۱۱
۲۴	۲۷	۱۱۲
۵۳	۴۰	۱۱۳
۱۲	۳۳	۱۱۴
۱۸	۷	۱۱۵
۴۰	۴۶	۱۱۶
۳۶	۰۳	۱۱۷
۴۴	۳۴	۱۱۸
۴۷	۳۳	۱۱۹
۲۵	۳۰	۱۱۰
۱۸	۲۰	۱۱۱
۲۶	۱۴	۱۱۲
۴۷	۴۰	۱۱۳
۵۶	۲۶	۱۱۴
۳۲	۰۶	۱۱۵
۲۴	۱۰	۱۱۶
۵۰	۴۰	۱۱۷
۶۸	۰۰	۱۱۸
۶۷	۴۶	۱۱۹
۵۷	۷۰	۱۱۴
۱۰	۲۶۶	۱۱۵
۱۶	۱۴۰	۱۱۶
۱۱	۱۴۳	۱۱۷
۲۶	۹۴	۱۱۸
۴۱	۷۲	۱۱۹
۶۲	۷۵	۱۱۰
۴۶	۰۰	۱۱۱
۵۰	۷۰	۱۱۲
۳۶	۰۰	۱۱۳

DIP	DipDirection	SN
۷۸	۳۵	۱۲۰
۷۵	۲۷	۱۲۱
۵۰	۲۵	۱۲۲
۸۲	۱۰	۱۲۳
۸۶	۱۰	۱۲۴
۴۰	۱۴	۱۲۵
۱۰	۱۰	۱۲۶
۳۴	۲۲	۱۲۷
۵۷	۸۰	۱۲۸
۵۸	۸۰	۱۲۹
۵۵	۸۰	۱۳۰
۴۹	۴۰	۱۳۱
۴۴	۴۷	۱۳۲
۵۵	۴۵	۱۳۳
۶۶	۴۶	۱۳۴
۳۹	۳۵	۱۳۵
۲۳	۳۲	۱۳۶
۴۴	۲۰	۱۳۷
۴۵	۱۰	۱۳۸
۴۲	۲	۱۳۹
۴۰	۲۹۰	۱۴۰
۵۰	۳۴۰	۱۴۱
۳۲	۳۴۰	۱۴۲
۸۸	۱۰	۱۴۳
۸۰	۰	۱۴۴
۸۸	۱۳	۱۴۵
۴۰	۰	۱۴۶
۴۶	۳۰۰	۱۴۷
۶۳	۰	۱۴۸
۸۹	۰	۱۴۹
۸۹	۸	۱۵۰
۸۹	۹	۱۵۱
۲۶	۷۰	۱۵۲
۴۹	۵	۱۵۳
۵۲	۲۰	۱۵۴

DIP	DipDirection	SN
۵۱	۸۹	۸۰
۷۷	۳۰	۸۶
۷۰	۳۷	۸۷
۸۱	۴۴	۸۸
۲۶	۳۰	۸۹
۴۰	۴۸	۹۰
۳۵	۸۰	۹۱
۳۴	۳۴۵	۹۲
۳۱	۳۰۲	۹۳
۲۴	۲۷۷	۹۴
۴۳	۸۳	۹۵
۴۴	۹۷	۹۶
۶۲	۹۸	۹۷
۳۴	۲۶۶	۹۸
۴۰	۲۷۳	۹۹
۵۲	۲۵۶	۱۰۰
۵۲	۲۸	۱۰۱
۴۹	۲۳	۱۰۲
۶۸	۳۵	۱۰۳
۴۳	۱۲۷	۱۰۴
۵۱	۱۲۰	۱۰۵
۵۲	۱۱۵	۱۰۶
۵۴	۴۷	۱۰۷
۴۰	۳۷	۱۰۸
۱۱	۰۳	۱۰۹
۸۹	۲۳۰	۱۱۰
۷۱	۳۵	۱۱۱
۸۱	۴۶	۱۱۲
۸۶	۳۰	۱۱۳
۸۲	۴۲	۱۱۴
۷۲	۴۰	۱۱۵
۸۹	۲۲۰	۱۱۶
۵۷	۴۰	۱۱۷
۷۱	۳۵	۱۱۸
۴۰	۲۷	۱۱۹

DIP	DipDirection	SN
۴۷	۱۷۷	۲۱۶
۴۶	۲۸	۲۱۷
۲۲	۲۵	۲۱۸
۳۴	۰۸	۲۱۹
۰۰	۰۱	۲۲۰
۴۵	۳۴	۲۰۳
۴۸	۳۵	۲۰۴
۳۶	۳۸	۲۰۵
۰۳	.	۲۰۶
۴۶	۲۰	۲۰۷
۳۱	۳۴	۲۰۸
۴۰	۳	۲۰۹
۳۴	۳۵۸	۳۶۰
۴۴	۶	۳۶۱
۰۲	۷	۳۶۲
۰۹	۲	۳۶۳
۰۷	۰	۳۶۴
۳۹	۲۰	۳۶۵
۳۶	۳۵	۳۶۶
۳۴	۱۰	۳۶۷
۰۲	۱۰	۳۶۸
۰۱	۲۲	۳۶۹
۰۹	۲۳	۳۷۰
۰۴	۳۲	۳۷۱
۶۲	۶۰	۳۷۲
۶۱	۷۴	۳۷۳
۳۱	۹	۳۷۴
۴۳	۱۸	۳۷۵
۲۰	۳۰۶	۳۷۶
۶۴	۸۰	۳۷۷
۰۷	۰۶	۳۷۸
۰۷	۴۰	۳۷۹
۷	۳۰۷	۳۸۰
۶۳	۲۰	۳۸۱
۴۴	۳۴۰	۳۸۲

DIP	DipDirection	SN
۶۴	۱۰	۱۸۱
۱۶۸	۱۲	۱۸۲
۸۰	۲۵	۱۸۳
۸۹	۳۵	۱۸۴
۸۹	۰۴	۱۸۵
۸۹	۰۰	۱۸۶
۲۹	۶۲	۱۸۷
۶۴	۶۳	۱۸۸
۰۰	۳۵	۱۸۹
۳۴	۳۴۰	۱۹۰
۳۱	۳۱۶	۱۹۱
۲۵	۳۲۴	۱۹۲
۱۸	۳۵	۱۹۳
۱۸	۴۳	۱۹۴
۲۹	۸۷	۱۹۰
۳۵	۶۴	۱۹۷
۳۴	۶۰	۱۹۸
۴۰	۷۰	۱۹۸
۲۵	۷۰	۱۹۹
۳۶	۰۰	۲۰۰
۰۳	۰۸	۲۰۱
۱۱	۸۰	۲۰۲
۱۷	۸۸	۲۰۳
۱۹	۴۰	۲۰۴
۲۷	۰۰	۲۰۵
۳۶	۷۰	۲۰۶
۴۰	۱۰	۲۰۷
۴۷	۱۲	۲۰۸
۶۴	۳۰۷	۲۰۹
۰۰	۰۴	۲۱۰
۴۶	۶۴	۲۱۱
۷۰	۷۷	۲۱۲
۱۶	۱۰۷	۲۱۳
۲۰	۱۷۰	۲۱۴
۷	۱۲۴	۲۱۵

DIP	DipDirection	SN
۳۴	۴۰	۲۳۴
۲۸	۷۰	۲۳۵
۳۵	۸۰	۲۳۶
۳۹	۷۳	۲۳۷
۳۴	۶۰	۲۳۸
۸۹	۴۰	۲۳۹
۸۹	۲۵	۲۴۰
۸۹	۴۴	۲۴۱
۳۶	۳۲۳	۲۴۲
۳۹	۳۲۴	۲۴۳
۴۳	۳۳۸	۲۴۴
۴۷	۰۰	۲۴۵
۰۱	۰۳	۲۴۶
۰۳	۰۸	۲۴۷
۴۷	۶۲	۲۴۸
۳۸	۳۰	۲۴۹
۰۰	۷۷	۲۵۰
۰۵	۳۰	۲۵۱
۴۳	۳۰	۲۵۲
۴۷	۲۶	۲۵۳
۳۵	۷۰	۲۵۴
۳۴	۴۰	۲۵۵
۰۶	۴۲	۲۵۶
۲۰	۱۰	۲۵۷
۳۲	۲۳	۲۵۸
۰۰	۳۰	۲۵۹
۲۵	۱۰۰	۲۶۰
۲۶	۱۰۰	۲۶۱
۰۲	۲۰	۲۶۲
۲۵	۲۸	۲۶۳
۳۲	۲۶	۲۶۴
۲۴	۳۶	۱۷۷
۴	۱۰	۱۷۸
۱۰	۲۰	۱۷۹
۲۱	۱۴	۱۸۰

Archive of SID

داریوش اسماعیلی و همکاران

DIP	DipDirection	SN
٤٥	٢٨٠	٢٧٧
٢٣	٢٨٢	٢٧٨
٣٨	٢٨٤	٢٧٩
٢٠	٦٣	٢٨٠
٣	٧٥	٢٨١
١٨	٤٠	٢٨٢
٨	٤٥	٢٨٣
١٥	١٠٠	٢٨٤
٢٣	٨٥	٢٨٥
١٤	٢٧٠	٢٨٦
١٨	٢٧٠	٢٨٧
١٠	٢٨٤	٢٨٨
١٣	٣١٤	٢٨٩
١٠	١١٥	٢٩٠
١١	١٠٤	٢٩١
١٠	١٥٤	٢٩٢
٧	٢١٠	٢٩٣
٥	٢٠٨	٢٩٤
١٦	١٨٥	٢٩٥
٢٥	٣٤٠	٢٩٦
٢٠	٣	٢٩٧
٣٠	٣٥٧	٢٩٨
٣٢	٣٥٥	٢٩٩
١١	٣٥٠	٣٠٠
٢٩	٧	٣٠١
١٢	٢١٨	٣٠٢
٣٤	٢٢٠	٣٠٣
١٤	٢٠٥	٣٠٤
١١	٣٤٠	٣٠٥
٢٠	٨٥	٣٠٦
٣٧	١٦	٣٠٧
٢٩	٨	٣٠٨
٨٩	٢٥	٣٩٧
٥٤	٣٢	٣٩٨
٤٦	٣٧	٣٩٩

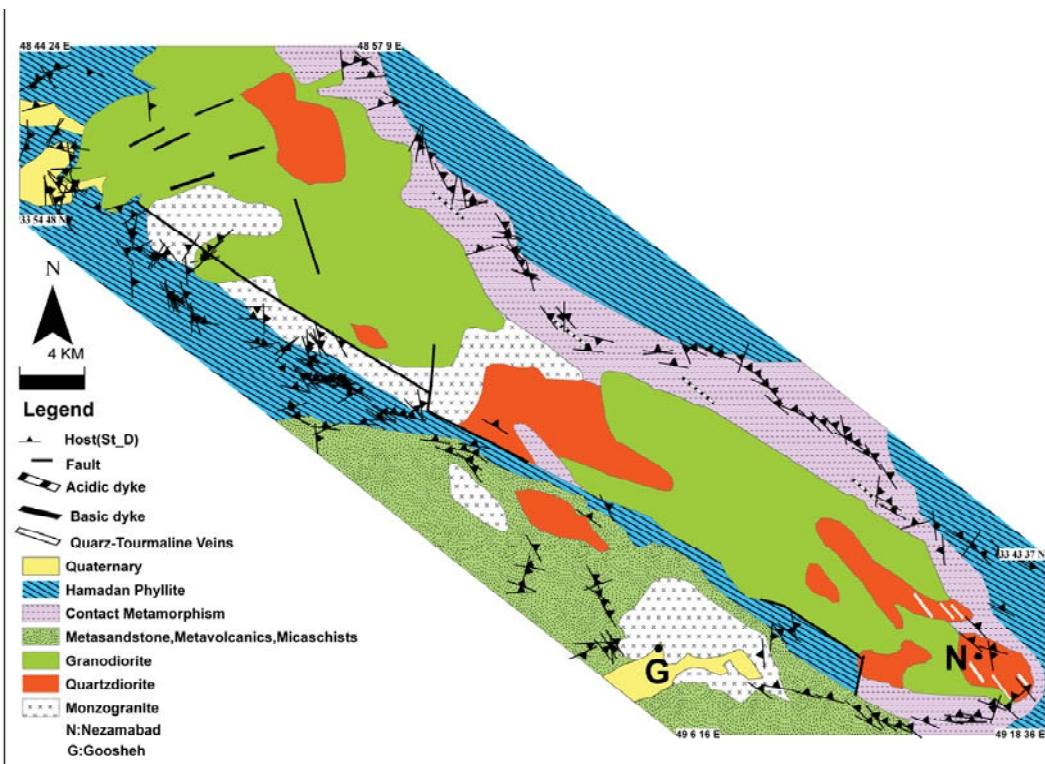
DIP	DipDirection	SN
٣٤	٢٥	٣٣٠
١٤	٧٥	٣٣١
١٣	٧٨	٣٣٢
٣١	٥٤	٣٣٣
١٩	٢٩٣	٣٣٤
٨٩	٨٠	٣٣٥
٨٩	٧٨	٣٣٦
٨٩	٥٥	٣٣٧
٦٠	٤٧	٣٣٨
٥٢	٣٧	٣٣٩
٤٦	٢٣	٣٤٠
٧٠	١٠	٣٤١
٥٣	٣٥٣	٣٤٢
٧٠	٣٥٥	٣٤٣
٥٤	١٢	٣٤٤
٥٨	١٥	٣٤٥
٥٧	١٠	٣٤٦
٨٩	١٣	٣٤٧
٨٩	٢٠	٣٤٨
٨٩	١٥	٣٤٩
٤٥	٣٥	٣٥٠
٤٠	٣٠	٣٥١
٤٣	٣٣	٣٥٢
٤٦	٣٥٧	٣٦٥
٣٤	٥	٣٦٦
٤٠	٧	٣٦٧
٣٢	٣٤٤	٣٦٨
٣٤	٣٥٧	٣٦٩
٣٩	٥٧	٣٧٠
٣٦	٧٠	٣٧١
١٧	٥	٣٧٢
٤٢	٣٤٣	٣٧٣
٣٢	٠	٣٧٤
٥٤	٣٣٢	٣٧٥
٢٠	٨٠	٣٧٦

DIP	DipDirection	SN
٨٩	٣٠	٣٨٣
٨٩	٣٥	٣٨٤
٨٩	٣٩	٣٨٥
٤١	٥	٣٨٦
٤٦	١٠	٣٨٧
٤٥	٩	٣٨٨
٤٣	٢٥	٣٨٩
٥٩	٢٨	٣٩٠
٦٣	١٧	٣٩١
٢٦	٣٣	٣٩٢
٣٥	٢٨	٣٩٣
٢٢	١٨	٣٩٤
٨٩	٣٠	٣٩٥
٨٩	٦	٣٩٦
٣٧	١٢٥	٣٠٩
٣٤	١٠٥	٣١٠
٣٢	١٢٥	٣١١
٥١	١١٥	٣١٢
١٣	١٠٥	٣١٣
٢٠	١١٠	٣١٤
١٣	٨٥	٣١٥
٢٨	٧٥	٣١٦
٢٤	٣٤٥	٣١٧
٢٩	٣٣٥	٣١٨
٣٦	١٤٧	٣١٩
٤٣	١٢٧	٣٢٠
٥٥	١١٨	٣٢١
٣٣	٣٢٣	٣٢٢
٣٧	٣١٠	٣٢٣
٢٤	٣٢٠	٣٢٤
٤٦	٥٦	٣٢٥
٥٦	٧٢	٣٢٦
٥٨	٥٢	٣٢٧
٤٢	٣٤٥	٣٢٨
٤٠	٣٤٨	٣٢٩

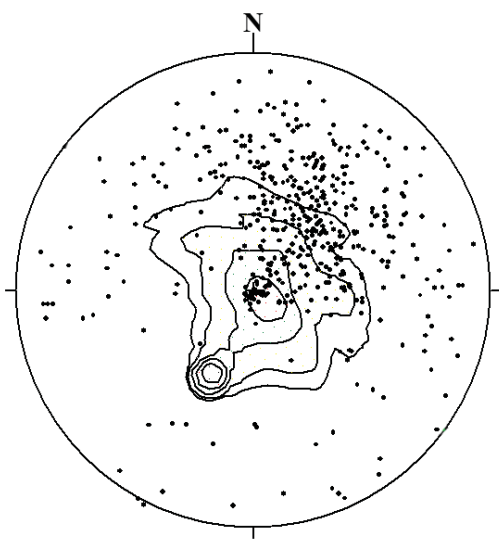
DIP	DipDirection	SN
۷۴	۱۳	۴۷۰
۷۴	۳۴۸	۴۷۱
۷۲	۳۱۲	۴۷۲
۶۶	۱۴۴	۴۷۳
۶۲	۴۸	۴۷۴
۷۹	۸۷	۴۷۵
۴۹	۷۱	۴۷۶
۷۷	۰۱	۴۷۷
۷۱	۷۱	۴۷۸
۷۰	۴۱	۴۷۹
۸۰	۳۲	۴۸۰
۴۰	۰۶	۴۸۱
۶۲	۳۴	۴۸۲
۸۷	۴	۴۸۳
۸۵	۱۰	۴۸۴
۸۰	۴۰	۴۸۵
۸۳	۲۰	۴۸۶
۸۵	۱۷	۴۸۷
۸۴	۴۷	۴۸۸
۸۵	۴۳	۴۸۹
۸۸	۱۴	۴۹۰
۸۶	۳۳۰	۴۹۱
۸۴	۳۴۴	۴۹۲
۷۷	۲۷	۴۹۳
۸۸	۲۰	۴۹۴
۸۷	۳۳۶	۴۹۵
۸۰	۸۰	۴۹۶
۸۷	۷۷	۴۹۷
۸۶	۵	۴۹۸
۷۴	۱۰	۴۹۹
۸۸	۳۰	۵۰۰
۸۴	۷۲	۵۰۱
۸۳	۰۸	۵۰۲
۸۵	۲۰	۵۰۳
۷۴	۷۵	۵۰۴

DIP	DipDirection	SN
۵۶	۰۲	۴۳۵
۶۷	۰۶	۴۳۶
۴۶	۲۴	۴۳۷
۸۳	۱۶۰	۴۳۸
۳۱	۳۲۸	۴۳۹
۶۴	۲۷۸	۴۴۰
۷۰	۷۲	۴۴۱
۵۶	۰۰	۴۴۲
۳۵	۱۰۰	۴۴۳
۴۱	۳۰۰	۴۴۴
۵۴	۴۰	۴۴۵
۲۱	۳۱۰	۴۴۶
۳۳	۳۶	۴۴۷
۶۸	۲۳۱	۴۴۸
۸۸	۳۰۴	۴۴۹
۶۶	۳۱۷	۴۵۰
۷۰	۳۲۲	۴۵۱
۴۵	۳۱۳	۴۵۲
۷۱	۳۴۸	۴۵۳
۴۷	۳۲۰	۴۵۴
۷۶	۸۶	۴۵۵
۰۱	۸۷	۴۵۶
۰۷	۸۲	۴۵۷
۵۶	۰۲	۴۵۸
۰۶	۷۲	۴۵۹
۵۵	۷۴	۴۶۰
۶۸	۶۳	۴۶۱
۷۴	۲۷	۴۶۲
۰۷	۷۲	۴۶۳
۰۳	۸۸	۴۶۴
۷۲	۷۲	۴۶۵
۷۱	۵	۴۶۶
۰۳	۲	۴۶۷
۴۸	۱۷۸	۴۶۸
۸۰	۸۸	۴۶۹

DIP	DipDirection	SN
۵۰	۲۰	۴۰۰
۵۴	۸	۴۰۱
۲۷	۳۵۰	۴۰۲
۴۰	۳۵۰	۴۰۳
۵۲	۱۲	۴۰۴
۰۹	۶	۴۰۵
۶۲	۳۵۳	۴۰۶
۵۴	۲۲	۴۰۷
۰۳	۳۰	۴۰۸
۴۰	۱۷	۴۰۹
۰۵	۸	۴۱۰
۷۰	۱۰	۴۱۱
۴۲	۴	۴۱۲
۶۰	۳۵	۴۱۳
۵۰	۳۲	۴۱۴
۶۴	۴۳	۴۱۵
۲۲	۰۰	۴۱۶
۴۰	۷	۴۱۷
۲۳	۱۶	۴۱۸
۴۲	۲۰۸	۴۱۹
۷۰	۸۷	۴۲۰
۷۸	۸۸	۴۲۱
۰۶	۷۱	۴۲۲
۸۵	۰۰	۴۲۳
۰۳	۴۳	۴۲۴
۸۸	۱۷۷	۴۲۵
۲۶	۸۲	۴۲۶
۴۱	۶	۴۲۷
۶۴	۸۶	۴۲۸
۶۶	۷۶	۴۲۹
۷۶	۴۰	۴۳۰
۰۴	۰۰	۴۳۱
۳۸	۳۰۰	۴۳۲
۶۴	۲۸۵	۴۳۳
۶۳	۷۴	۴۳۴



شکل ۳- با توجه به داده های جدول ۱ که مربوط به شب و امتداد برداشت شده از سنگ های میزبان می باشد، این پارامتر برای تمامی ایستگاه های مربوطه رسم شده است که به صورت Host (St-D) نمایش داده شده است.



شکل ۴- استریوگرام مربوط به شیستوزیته غالب سنگ های میزبان کمپلکس گرانیتوئیدی بروجرد

نمی شود و در قسمت های شمال و شمال غرب کمپلکس، ریز ساختار های میلینیتی به وفور یافت می شود و حالت حد واسط بین این دو نیز در بخش های مختلف کمپلکس، قابل مشاهده است (شکل ۱). بر اساس مطالعات انجام شده بر روی ۹۴ نمونه از قسمت های مختلف کمپلکس گرانیتوئیدی بروجرد، می توان ریز ساختارها را در این کمپلکس به چهار پهنه به شرح زیر تقسیم بندی نمود:

گروه بندی ریز ساختار های میکروسکوپی در کمپلکس

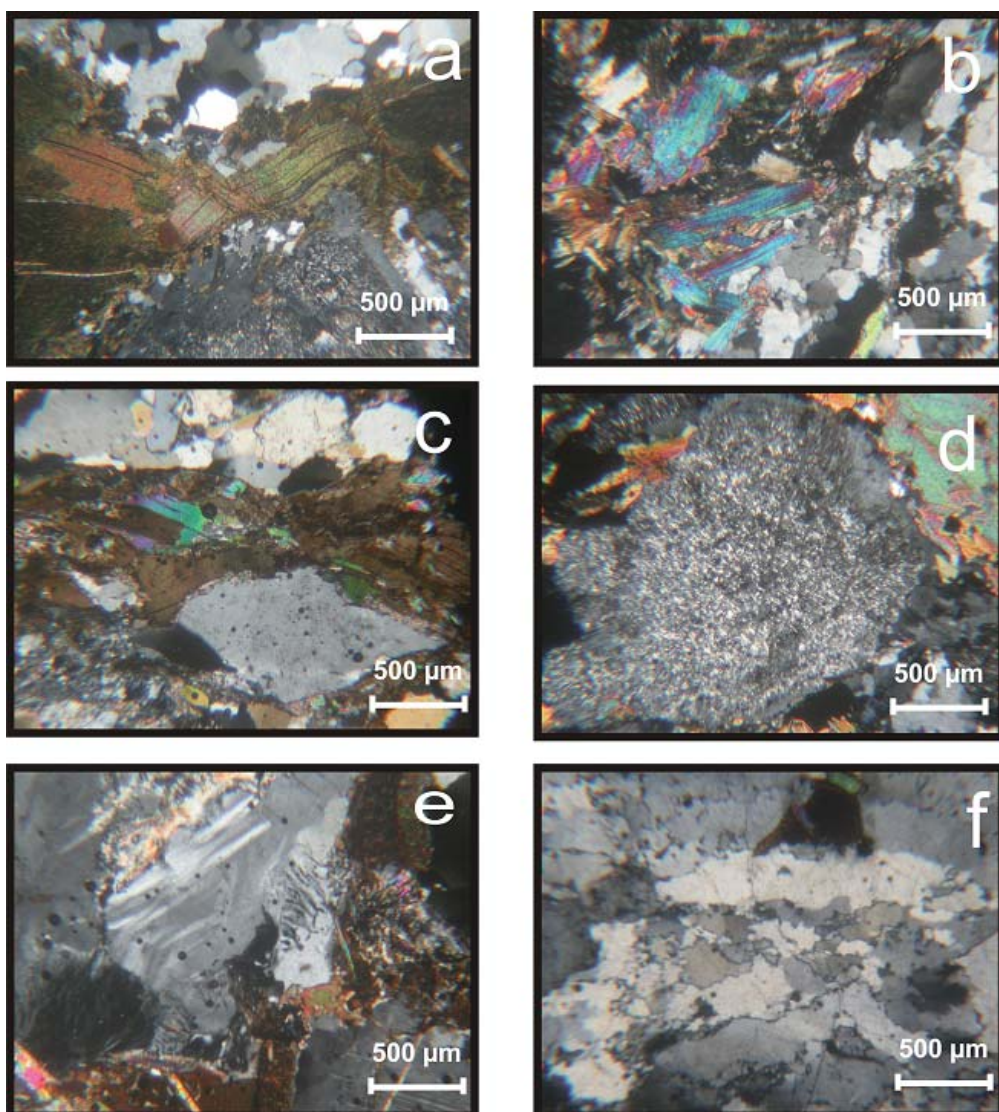
بر اساس بررسی های صحرا ی و مطالعات میکروسکوپی مشخص شد که شدت دگرشکلی ها در همه جای کمپلکس گرانیتوئیدی بروجرد یکسان نیست، شدت دگرشکلی ها از غرب به شرق و از شمال غرب به سمت جنوب شرق کاهش می یابد. مثلاً در مونزو گرانیت های گوشه، اثر خاصی از دگرشکلی دیده

ریزساختار ساب سولیدوس حالت جامد دما بالا

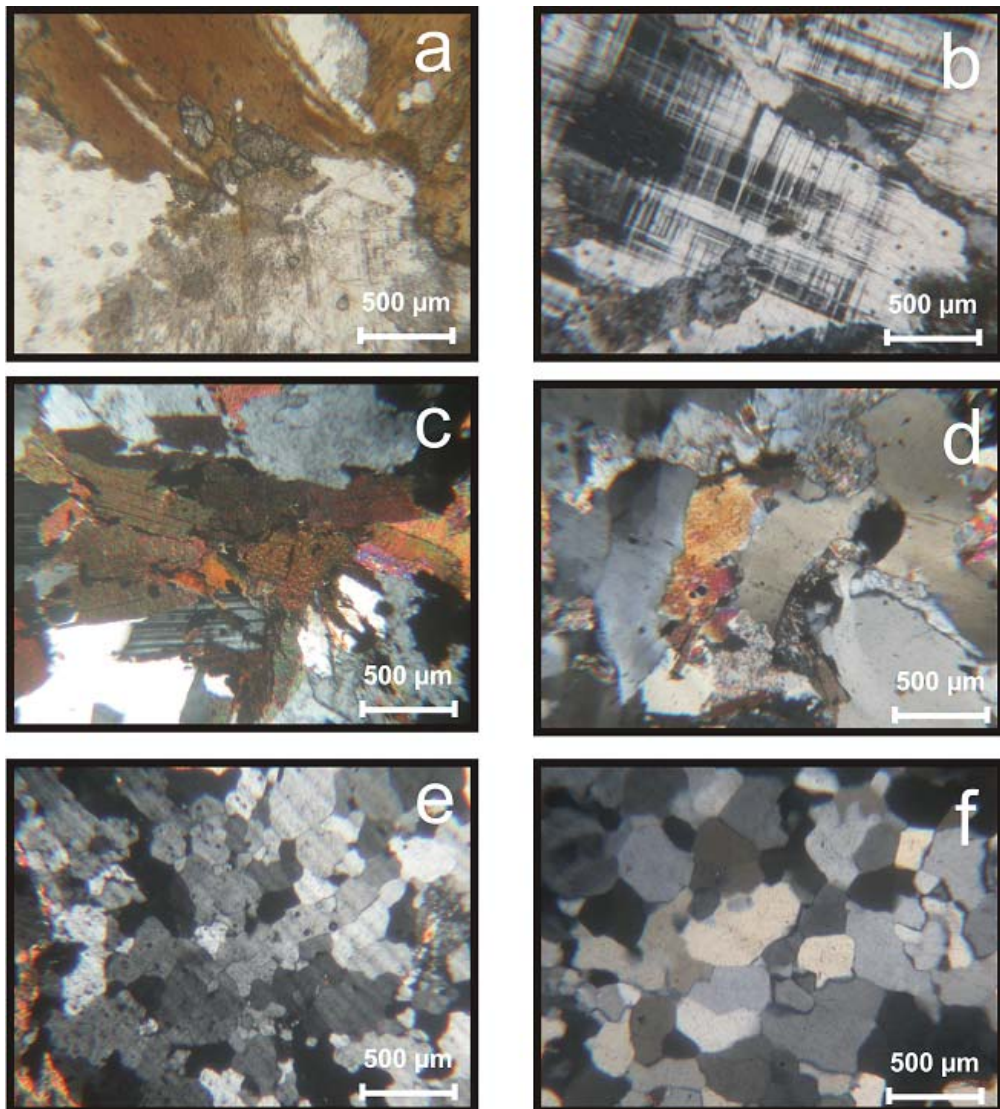
پراکنده‌گی ریزساختار حالت جامد دمای بالا در کمپلکس گرانیتوئیدی بروجرد، عمدها در شرق و جنوب شرق کمپلکس تا مرکز آن دیده می‌شود (شکل ۱). بررسی مقاطع میکروسکوپی این بخش نشان می‌دهد، بلورهای بیوتیت در اکثر سنگ‌های تغییر شکل یافته این پهنه، تابدار و خمیده بوده و کج شدگی (شکل ۵-a) نشان می‌دهند و یا کینگباند در آن‌ها به وجود آمده است. باید توجه داشت که در اکثر موارد ظهور کینگباند در دگرشکل‌ها به علت لغزش کم ورقه‌های بیوتیت در امتداد سطوح کلیواژ نادر، می‌باشد (Vernon and Flood, 1987). به اعتقاد (Bouchez et al., 1992) (Johnson et al., 2006) حضور مقدار کمی مذاب در بین ورقه‌های بیوتیت، سبب به سهولت لغزش ورقه‌ها بر روی یکدیگر می‌گردد (شکل ۶-c). در مقاطع این پهنه، پلاژیوکلازها دارای حاشیه‌های گسیخته بوده و ماکلهای مکانیکی و پلیستیک تابدار از خود

ریزساختارهای ماقمایی و ساب ماقمایی

ریزساختارهای ماقمایی و ساب ماقمایی در کمپلکس گرانیتوئیدی بروجرد، در بخشی معروف به گرانیت گوشه واقع در جنوب غرب کمپلکس (شکل ۱) به خوبی گسترش یافته‌اند. در این بخش کانی‌ها دگرشکلی از خود نشان نداده و متholm تنشی خاصی نشده‌اند. فقط ممکن است خاموشی موجی بسیار ضعیفی در کوارتز دیده شود و یا در حالت ساب ماقمایی بلورهای فلدسپار دچار شکستگی شوند (شکل ۶-c) که علت این امر وجود صفحات کلیواژ و ماکل در دانه‌های فلدسپار می‌باشد (Vernon and Flood, 1987). بنابراین در حالت کلی، کانی‌ها ساختار و شکل اولیه خود را حفظ نموده‌اند. این ریزساختارها نشان می‌دهند بخش مزبور می‌تواند جوانترین فعالیت ماقمایی در منطقه باشد زیرا دگرشکلی خاصی را متحمل نشده‌اند (Masoudi et al., 2002) (شکل ۶)



شکل ۵ - a) خمیدگی و کج شدگی در بیوتیت، b) بیوتیت در حال تبدیل به صورت میکافیش، c) بیوتیت به صورت مسکویت ثانویه، d) دگرشانی در فلدسپار و تبدیل آن به کانی‌های ثانویه از جمله کانی‌های رسی، e) کوارتز در حال تبلور مجدد و دارای مهاجرت مرز دانه به صورت آمیسی



شکل ۶- a) پهنه ماگمایی (کانی‌ها بدون هیچ تغییری دیده می‌شوند)، b) رگه‌ای از کوارتز در داخل فلدسپار دیده می‌شود که مؤید حالت ساب ماگمایی است. همچنین به ماکل پلی سنتیک فلدسپار هم توجه گردد، c) پهنه حالت جامد دما بالا، d) پهنه حالت جامد دما پایین و e) پهنه ساب میلونیتی - میلونیتی (کوارترها تبلور مجدد گستردۀ نشان می‌دهد)

غرب و جنوب‌غرب کمپلکس گسترش دارد (شکل ۱). مطالعه میکروسکوپی مقاطع نازک نشان می‌دهد که بلورهای درشت بیوتیت تکه‌تکه و به اجتماع دانه‌های ریزی تبدیل شده است که مؤید تجدید تبلور می‌باشد. در این حالت بلورهای تکه‌تکه شده به تدریج جهت‌یابی کرده و سبب ایجاد برگوارگی در سنگ می‌شوند. همچنین ریزساختارهای ساب سولیدوس حالت جامد دمای پایین با خاموشی موجی شدید در کوارتز مشخص می‌شود (شکل ۶- e) e- f). کانی پلاژیوکالاز نیز به‌وسیله سریسیت، جایگزین گردیده است (شکل ۵- d).

ریزساختارهای ساب میلونیتی و میلونیتی

این پهنه در منطقه مورد مطالعه از مرکز به سمت شمال گسترش یافته، به طوری که می‌توان گفت از مرکز به سمت شمال شرق کمپلکس، بیشتر حالت ساب میلونیتی بوده و از مرکز به سمت

نشان می‌دهند (شکل ۶- b). در بسیاری از مقاطع این پهنه در فلدسپارها بافت پرتیتی را می‌توان مشاهده نمود (شکل ۵- e). همچنین تبلور مجدد در کوارتز با مهاجرت مرز دانه به صورت آمیبی و استیلولیتی اتفاق افتاده است (شکل ۵- f) این حالت مؤید حرارت بالا در گرانیت‌هایها می‌باشد و در شرایطی که اختلاف تنفس شدید و مقدار تنفس برشی بیشینه باشد، بر اثر تبلور مجدد چرخشی، دانه‌های کوارتز در اندازه‌های تقریباً مساوی، ریز و کوچک شده و با چرخیدن، به موازات سطح برگوارگی قرار گرفته‌اند (Passchier, 1982). وجود تمامی شواهد فوق، حاکی از عملکرد تنفس‌های تکتونیکی در حالت شکل‌پذیر بر سنگ‌های این پهنه می‌باشد.

ریزساختارهای ساب سولیدوس حالت جامد دما پایین

این پهنه در کمپلکس گرانیت‌هایی بروجرد از مرکز به طرف

زمانی که مانگما به طور کامل متبلور و سرد شد، شکل می‌گیرند (Benn et al., 1989; Bouchez et al., 1992; Esmaeily et al., 2007)، مجموع شواهد، بیان‌کننده این واقعیت است که پهنه‌های حالت مانگما و جامد دمای بالا، همزمان با جایگیری کمپلکس و پهنه‌های حالت جامد دما پایین، ساب میلونیتی و میلونیتی حاصل فعالیت‌های پس از جایگیری کمپلکس می‌باشند. (یعنی زمانی که کمپلکس کاملاً سرد و متبلور بوده و سنگ‌ها حالت شکننده داشته‌اند) با دقت در نقشه پهنه‌بندی ریز ساختارهای منطقه مورد مطالعه، به آسانی می‌توان استنباط نمود که شدت دگر‌شکلی‌ها از شمال غرب به جنوب شرق و همچنین از غرب به شرق کمپلکس کاهش می‌یابد. تمرکز شدت دگر‌شکلی‌ها در شمال و غرب کمپلکس را می‌توان به وجود پهنه‌های برشی و گسل‌های بسیار زیاد موجود در این مناطق نسبت داد. به نظر می‌رسد در این جا عملکرد پهنه‌های برشی موجب افزایش شدت دگر‌شکلی‌ها و توسعه حالت‌های میلونیتی و ساب میلونیتی گردد. در حالی که در مورد پهنه اول یعنی گرانیت گوشه دو حالت را می‌توان مطرح نمود:

اول این که این قسمت خارج از عملکرد پهنه‌های برشی بوده و بنابراین از اثرات عملکرد پهنه‌های برشی در امان بوده است. دوم اینکه این پهنه حاصل فعالیت‌های مانگما ب بعدی در منطقه می‌باشد. می‌توان گفت بعد از جایگزینی و سرد شدن کامل کمپلکس گرانیتوئیدی بروجرد، گرانیت گوشه به صورت جداگانه جایگزین شده است و بنابراین جوانتر از گرانیت بروجرد می‌باشد (Masoudi et al., 2002). نتایج این پهنه‌بندی‌ها با مدل ارائه شده احمدی خلجمی (۱۳۸۵) که بر اساس عناصر کمیاب و داده‌های سن‌سنجی ایزوتوپی اورانیم - سرب صورت پذیرفته و جایگزینی کمپلکس گرانیتوئیدی بروجرد را همزمان با کوهزایی و طی دو مرحله اواخر برخورد و پس از برخورد می‌داند، سازگار است. بر این اساس می‌توان گفت پهنه‌های سوم، چهارم و پنجم مربوط به اواخر برخورد و پهنه‌های اول و دوم مربوط به پس از برخورد هستند.

نتیجه‌گیری

در کمپلکس گرانیتوئیدی بروجرد، چهار نوع ریز ساختار شامل ریز ساختارهای مانگما و ساب مانگما، ریز ساختار حالت جامد دما بالا، ریز ساختار حالت جامد دما پایین و ریز ساختارهای ساب میلونیتی تا میلونیتی قابل شناسایی است. به نظر می‌رسد که ریز ساختارهای مانگما و حالت جامد دما بالا در زمانی که هنوز مانگما به طور کامل متبلور نشده و یا متبلور بوده ولی دمای آن نزدیک به سولیدوس بوده، شکل گرفته‌اند در حالی که دو نوع ریز ساختار دیگر در دمای پایین و از بین آنها نوع میلونیتی در پهنه‌های برشی شکل گرفته است. در حالت کلی شدت دگر‌شکلی در کمپلکس گرانیتوئیدی بروجرد از شمال غرب به جنوب شرق و همچنین از غرب به شرق کاهش محسوس و چشمگیری نشان می‌دهد که بی‌ارتباط با گستردگی پهنه‌های برشی و گسل‌ها در مناطق غرب و شمال غرب منطقه نیست.

شمال غرب پهنه، میلونیتی می‌باشد (شکل ۱). در این مناطق که دگر‌شکلی بسیار شدید است، بیوتیت تجزیه و به کانی‌های ثانویه‌ای از قبیل مسکویت، کلسیت، اپیدوت و کلریت تبدیل می‌گردد (احمدی خلجمی، ۱۳۸۵) (شکل ۵-۶). همچنین در بعضی مقاطع دیگر این پهنه، بیوتیت به صورت میکافیش دیده می‌شود که جهت برآش راست بر را به خوبی نشان می‌دهد (شکل ۵-۵). در دگر‌شکلی درجه بالا، بلورهای فلدسپار می‌توانند دگرسان شده و تبدیل به کانی‌های ثانویه‌ای از قبیل سریسیت، مسکویت و کانی‌های رسی (شکل ۵-۶a) شوند. فلدسپارهای سالم به ندرت در این پهنه مشاهده می‌شوند. در این پهنه، کوارتز به شدت تبلور مجدد پیدا نموده و خاموشی موجی شدید دارد (شکل ۶-۶f و e) و کوارتزهایی که در حین دگر‌شکلی‌های مختلف قبلی، حاشیه‌های نامنظم و خاموشی موجی پیدا کرده بودند، ممکن است پس از افت نرخ دگر‌شکلی یا توقف آن، ناپایدار شده و به تناسب شرایط حاکم بر محیط، چهار تجدید تبلور شوند. بنابراین در این پهنه به دلیل تنش شدید، تغییرات اساسی در ساختار و بافت کانی‌ها به وقوع پیوسته است. به طوری که تعیین ماهیت اولیه گرانیت‌ها مشکل و سنگ به یک زمینه ریزدانه مشکل از کوارتز، سریسیت، کلریت، کلسیت و اپیدوت تبدیل شده است. بقایایی از دانه‌های درشت کوارتز و فلدسپار به صورت پورفیروکلاست در این زمینه ریزدانه قرار می‌گیرند. پاراژنر کانی‌های ذکر شده نشان می‌دهد که این نوع دگر‌شکلی به طور بارزی تحت شرایط دگرگونی رخساره شیست سبز درجه پایین صورت گرفته است (Vernon and Flood, 1987; Tullis et al., 1999)؛ سنگ‌ها در بخش‌هایی که این ریز ساختارها تشکیل شده‌اند، به دلیل فرسایش بسیار زیاد، رخنمون کمی دارند.

بحث

دگر‌شکلی‌ها در کمپلکس گرانیتوئیدی بروجرد بسیار متنوع می‌باشند. وجود چهار نوع بیوتیت شامل بیوتیت‌های درشت اولیه که چهار کج شدگی و خمیدگی شده‌اند، بلورهای ریز شده بیوتیت که خمیره سنگ شده‌اند، بیوتیت‌های آلتره شده و میکافیش‌ها، همچنین شکستگی‌های متعدد ایجاد شده در فلدسپارها و تبلور مجدد در این کانی‌ها و نهایتاً ریز شدگی و درجات مختلف دگر‌شکلی و خاموشی موجی در کوارتز، همگی مؤید تنوع تنش‌های تکتونیکی، همزمان و بعد از جایگیری کمپلکس گرانیتوئیدی بروجرد می‌باشند. به اعتقاد (Brown et al., 1981) و (Parsons, 1990) (and Bouchez et al., 1990) از آنجا که کمپلکس‌های گرانیتوئیدی طی جایگزینی و همچنین بعد از جایگزینی به شکل‌های متفاوتی چهار دگر‌شکلی می‌شوند، لذا این کمپلکس‌ها می‌توانند شاخص‌های مفیدی از دگر‌شکلی‌های حادث شده در چنین مناطقی باشند. ریز ساختارهای مانگما و حالت جامد دما بالا به ترتیب در حضور فاز مذاب باقیمانده و پس از انجماد کامل کمپلکس، اما در دمای بالا تشکیل می‌شوند. سایر دگر‌شکلی‌ها پس از جایگیری کمپلکس یعنی

منابع

- احمدی خلجمی، ا.، ۱۳۸۵. پترولوزی کمپلکس گرانیتوئیدی بروجرد، رساله دکتری، پردیس علوم، دانشگاه تهران.
- Masoudi, F., Yardley, B.W.D. and Clif, R.A., 2002. Rb-Sr Geochronology of Pegmatites, Plutonic rocks and a Hornfels in the region south-West of Arak, Iran. Journal of Sciences, 13(3), 249-234.
- Passchier C.w., 1982. Mylonite deformation in the Saint-barthelemy Massif, French Pyrenees, with emphasis on the genetic relationship between ultramylonite and pesudotachylite. GUA papers of Geology, 116, 1-173.
- Passchier, C.W. and Trouw, R.A.J., 1999. Micro Tectonics. Springer Verlag Berlin Heidelberg in Germany.
- Stöcklin, J., 1968. Structural history and tectonics of Iran, A review. American Association Petroleum Geologists, 52, 1229-1258.
- Tullis, J., Stu"nitz, H., Teyssier, C. and Heilbronner, R., 1999. Deformation and microstructures microstructures in quartzo-feldspathic rocks. Journal of the Virtual Explorer, 84, 547-568.
- Vernon, R.H., 1999. Flame perthite in metapelitic gneisses in the Cooma Complex, SE Australia. American Mineralogist, 84, 1760-1765.
- Vernon, R.H. and Flood, R.H., 1987. Contrasting deformation and metamorphism of S and I type granitoids in the Lachlan Fold Belt, Eastern Australia. Tectonophysics 219: 241-256.
- Benn, K., Paterson, S.R., Lund, S., Pignotta, G.S. and Kruse, S., 1989. Magmatic fabrics in batholiths as markers of and plate kinematics: example of the Cretaceous Mt. Stuart batholith. Physics Chemistry Earth (A), 26, 343-352.
- Bouchez, J.L., Delas, C., Gleizes, G., Nedelec, A. and Cuney, M., 1992. Submagmatic microfractures in granites. Geology, 20, 35-38.
- Bouchez, J.L., Guillet, P. and Chevalier, F., 1990. Structures d'écoulements liés à la mise en place du granite de Guérande (Loire Atlantique, France). Bulletin Société Géologique France 7/XXIII, 387-399.
- Brown, W.L. and Parsons, I., 1981. Alkali feldspars, ordering rates, phase transformations and behaviour diagrams for igneous rocks. Mineralogical Magazine, 53, 25-42.
- Esmaeily, D., Bouchez, j.l. and Siqueira, R., 2007. Magnetic fabrics and microstructures of the Jurassic shah-kuh granite pluton (lut block, Eastern Iran) and Geodynamic inference. Tectonophysics, 439, 149-17
- Johnson, S.E., Vernon, R. H. and Upton, P., 2006. Foliation development and progressive strain-rate partitioning in the crystallizing carapace of a tonalite pluton: